ТРАНСПОРТНЫЕ СИСТЕМЫ >>

4.6. Другие возможные возмущения движения ротора при разгоне

Кроме рассмотренных возмущений, связанных с функционированием технической и энергетической частей системы ОТС, возможны возмущения естественного происхождения – крупномасштабные изменения рельефа земной поверхности – горные массивы, плато и т. д., а также землетрясения, штормы, цунами, изменить характер которых, а тем более предотвратить их, невозможно.

При прохождении эстакады по участкам с крупными изменениями рельефа поверхности основной возмущающий фактор – изменение радиуса кривизны трассы; наиболее опасны случаи, когда меняется знак кривизны или при его постоянстве уменьшается радиус кривизны. Первый случай должен быть исключен, так как центробежная сила элементов ротора действует в ту же сторону, что и сила притяжения, а потому не отрывает, а прижимает эти элементы к эстакаде. Во втором случае необходимо отсутствие угловых точек в местах сопряжения участков с различными радиусами кривизны.

В случае прохода трассы через горный хребет или плато этого можно добиться, если действовать в соответствии со схемой, показанной на рисунке 30. Здесь AB – участок трассы вдоль экватора с радиусом кривизны R; BC – участок с переменным радиусом кривизны ρ_k от R до $\rho_1 < R$, гладко сопрягающийся с участками AB и CD; CD – участок с постоянным радиусом кривизны ρ_1 ; далее следует участок DE с переменным радиусом $\rho_1 \le \rho_k \le R$ и экваториальный участок EF с гладкими сопряжениями в точках D и E.

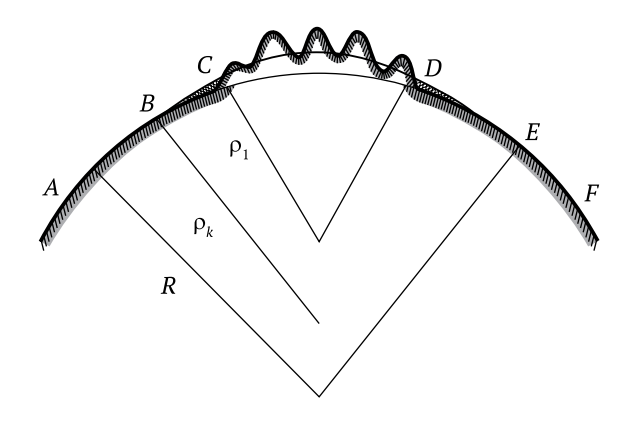


Рисунок 30 — Трасса эстакады ОТС на горном участке. Исходный рельеф — штриховка; насыпные участки — двойная штриховка. Гладкое сопряжение участков с радиусами кривизны R, ρ (переменный) и ρ , в точках B, C, D, E

Трасса на горном участке CD проходит вдоль каньона, проложенного через хребты; изъятые горные породы используются на сооружение насыпей через ущелья на участках BC и DE. Такая трасса более экономична по сравнению с той, которая имела бы всюду постоянный радиус кривизны R, так как глубина каньона в первом случае меньше, чем во втором.

Рассмотрим элемент ротора, движущийся на участке BCDE с радиусом кривизны, отличным от R. Пусть m – масса этого элемента; mg – сила притяжения, направленная к центру Земли вдоль местного радиуса экватора R; $q_{_{9}}$ — тяговое усилие от электродвигателя, приходящееся на данный элемент; N – левитационное усилие от системы подвеса.

При отсутствии угловых точек дифференциальное уравнение движения рассматриваемого элемента в проекции на касательную к траектории имеет вид:

$$m\frac{dV_r}{dt} = q \pm mg\sin\alpha, \qquad (4.12)$$

где α – угол между касательной к траектории и соответствующей касательной к линии экватора, равный углу между местным радиусом кривизны ρ_k и радиусом экватора R. Этот угол очень мал, поэтому можно записать $\sin \alpha = \alpha$; отрицательный знак принимаем на участке BC_1 , положительный – на участке C_1E , где C_1 – средняя точка участка CD. Элемент ротора здесь въезжает на очень пологую горку, а затем съезжает с нее.

Если уравнение (4.12) суммировать по всем элементам ротора, то получим уравнение невозмущенного движения ротора (4.1), где $M_{\rm p}$ = Σm , Q = Σq .

Уравнение возмущенного движения для упруго-вязкой дискретной модели ротора имеет вид (4.11), в правую часть здесь следует поставить возмущающую силу $\pm mq\sin\alpha$, меняющую знак в точке C_1 . Возмущенное движение, как и в предыдущем случае, представляет собой продольные затухающие колебания или апериодическое движение типа одиночной волны.

В проекции на нормаль к траектории, совпадающей с направлением местного радиуса кривизны, получим формулу левитационного усилия *N*:

$$N = m \left(g \cos \alpha - \frac{V_a^2}{\rho} \right), \quad V_a \leq V^* < V_1,$$

где $V^* = (g\rho_k \cos\alpha)^{1/2}$ — абсолютная скорость, при которой N обращается в нуль. В интервале изменения скорости $V^* \leq V_a \leq V_0$ усилие N меняет направление и определяется формулой: